УЛК 546.621

ИССЛЕДОВАНИЕ ТЕРМИЧЕСКОЙ ДЕСТРУКЦИИ ЧИСТЫХ И РАСТВОРЕННЫХ В ВОДЕ АЛИФАТИЧЕСКИХ СПИРТОВ

Т.А. Джаппаров, старший специалист, А.Р. Базаев, главный научный сотрудник

Институт проблем геотермии ДНЦ РАН, Махачкала, 367003 Россия e-mail: Timur507@mail.ru

етодом определения изотермического роста давления в закрытой системе получены температуры начала термической деструкции (разложения) алифатических спиртов (метанол, этанол, 1-пропанол и 1-бутанол) и их водных растворов в зависимости от состава. Показано, что скорость деструкции молекул спиртов зависит от температуры, а растворенных в воде – и от их концентрации. Оценены значения кинетических и активационных параметров деструкции чистых и растворенных в воде спиртов в интервале температур 583.15–663.15 К.

Ключевые слова: давление, растворы, концентрация, термическая деструкция, кинетические параметры.

Алифатические спирты (метанол, этанол и др.) и их водные растворы в различных агрегатных состояниях являются эффективными тепло- и хладоносителями (рабочими веществами) энергетических и холодильных установках и экологически чистыми растворителями (экстрагентами) в экстракционных технологиях. Одним из требований, предъявляемых к рабочим веществам и растворителям в этих процессах, является их термическая стабильность - постоянство химического состава и эксплуатационных свойств в течение длительного времени при высоких температурах. В научной литературе приводятся противоречивые результаты исследований термического разложения молекул алифатических спиртов в чистом виде и в водных растворах [1-7].

Результаты исследования термического разложения чистых и растворенных в воде алифатических спиртов (метанола, этанола, 1-пропанола и 1-бутанола), полученные нами методом определения изотермического роста давления в закрытой системе, приведены в работе [8].

В данной работе температуры начала термического разложения растворенных в воде спиртов в зависимости от их концентрации и числа атомов углерода (табл. 1, рис.1) обобщены полиномиальным уравнением вида:

$$T(x) = ax^2 + bx + c, (1)$$

где T – температура, x – мольная доля спирта, a, b, c – коэффициенты.

Таблица 1. Температуры начала термического разложения молекул спиртов в их водных растворах

| _ | | | молекул спиртов в их водивих растворах | | | |
|---|------------------|----------------|--|-------------------|------------------|--|
| | Концентрация | Вода – метанол | Вода – этанол | Вода – 1-пропанол | Вода – 1-бутанол | |
| _ | спирта, x мол. | | | | | |
| | 1 | 518.15 | 528.15 | 543.15 | 558.15 | |
| _ | 0.8 | 523.15 | 533.15 | 548.15 | 563.15 | |
| | 0.5 | 533.15 | 543.15 | 558.15 | 573.15 | |
| _ | 0.2 | 548.15 | 558.15 | 573.15 | 588.15 | |

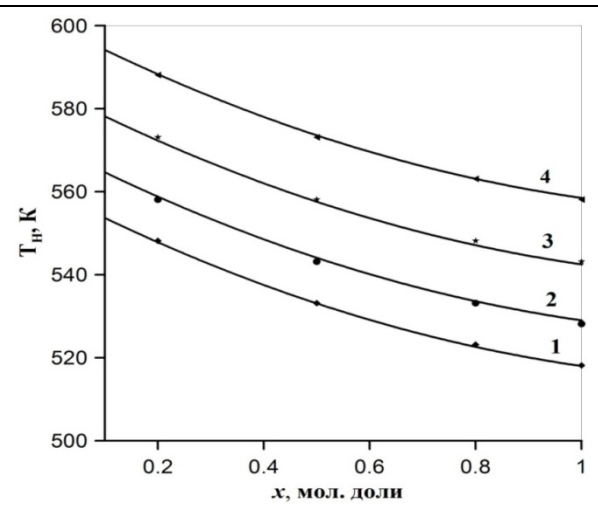


Рис. 1. Зависимость температуры начала термического разложения молекул спиртов в их водных растворах от концентрации спирта x: 1 – вода – метанол, 2 – вода – этанол,

3 - вода - 1-пропанол, 4 - вода - 1-бутанол.

Коэффициенты a, b, c уравнения (1), определенные методом наименьших квадратов, приведены в табл. 2.

Как видно из табл. 2, коэффициенты a и bпостоянны для всех смесей, т.е. не зависят от числа атомов углерода в молекуле спирта, а коэффициент с растет в гомологическом ряду. Эта зависимость может быть описана полиномом вида:

$$c(N) = 6.378N^2 + 28.826N + 544.258, (2)$$

где c – коэффициент уравнения (1), N – число атомов углерода.

Следовательно, зависимость температур начала термического разложения молекул спиртов в их водных растворах от концентрации и числа атомов углерода может быть рассчитана следующим полиномом:

$$T(x, N) = 23.622x^{2} - 65.617x + 6.378 \cdot 10^{-3} N^{2} +$$

$$+ 28.826 \cdot 10^{-2} N + 544.258.$$
(3)

Таблица 2. Значения коэффициентов *а, b, с* уравнения (1)

| | Коэффициенты | Вода – метанол | Вода – этанол | Вода – 1-пропанол | Вода – 1-бутанол |
|---|--------------|----------------|---------------|-------------------|------------------|
| | a, K | 23.622 | 23.622 | 23.622 | 23.622 |
| | b, K | -65.617 | -65.617 | -65.617 | -65.617 |
| - | c, K | 560.263 | 570.263 | 585.263 | 600.263 |

Так как реакции термического разложения спиртов относятся к реакциям первого порядка [9-11], то для вычисления константы скорости k термического разложения спиртов использовалось выражение [11-13]:

$$\frac{dp}{d\tau} = k \cdot p \;, \quad k = \frac{1}{p} \cdot \frac{dp}{d\tau}. \tag{4}$$

где k — константа скорости, p — начальное давление в системе, $dp/d\tau$ — изменение давления в единицу времени (скорость реакции).

Характер зависимости изотермического роста давления во времени в чистом и растворенном в воде этаноле демонстрируют рис. 2 и 3. Значения $dp/d\tau$ приведены в табл. 3.

Таблица 3. Значения роста давления системы во времени при термическом разложении молекул чистого и растворенного в воде этанола

| | 1 | | Monenty in meror | o ii pae i Bopeiiii oi | о в воде этапола | | | |
|--------------------------|-------------|----------|------------------|------------------------|------------------|--|--|--|
| Время τ, мин | Температура | | | | | | | |
| Бремя с, мин | 583.15 K | 603.15 K | 623.15 K | 643.15 K | 663.15 K | | | |
| | | тЄ | анол | | | | | |
| 0 | 13.465 | 15.972 | 18.25 | 21.055 | 24.011 | | | |
| 60 | 13.51 | 16.087 | 18.55 | 21.825 | 25.997 | | | |
| 120 | 13.555 | 16.202 | 18.85 | 22.595 | 27.983 | | | |
| 180 | 13.6 | 16.317 | 19.15 | 23.365 | 29.969 | | | |
| 240 | 13.645 | 16.432 | 19.45 | 24.135 | 31.955 | | | |
| 300 | 13.69 | 16.547 | 19.75 | 24.905 | 33.941 | | | |
| Вода — этанол, $x = 0.5$ | | | | | | | | |
| 0 | 15.112 | 18.554 | 21.648 | 24.851 | 27.664 | | | |
| 60 | 15.138 | 18.622 | 21.823 | 25.286 | 28.836 | | | |
| 120 | 15.164 | 18.69 | 21.997 | 25.721 | 30.008 | | | |
| 180 | 15.19 | 18.758 | 22.172 | 26.156 | 31.18 | | | |
| 240 | 15.216 | 18.826 | 22.346 | 26.591 | 32.352 | | | |
| 300 | 15.242 | 18.894 | 22.521 | 27.026 | 33.524 | | | |

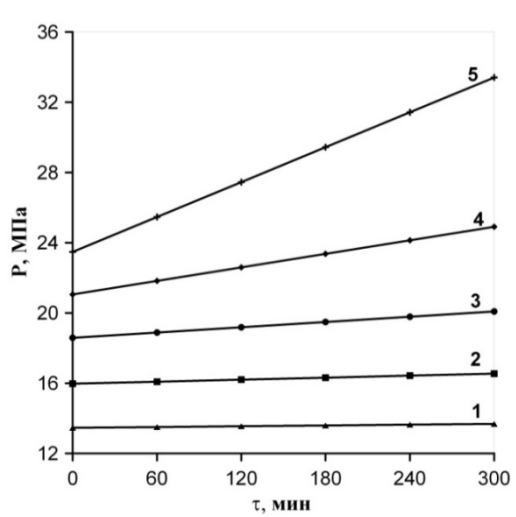


Рис. 2. Зависимость роста давления в системе во времени в процессе деструкции этанола при температурах: $1-583.15~\mathrm{K};\,2-603.15~\mathrm{K};\,3-623.15~\mathrm{K};\,4-643.15~\mathrm{K};\,5-663.15~\mathrm{K}.$

Используя данные табл. 3, можно оценить значения энергии активации спиртов по известному соотношению Аррениуса [14, 15] (табл.4):

$$k = A \cdot e^{-E/RT}, \ln k = \ln A - E / RT, \tag{5}$$

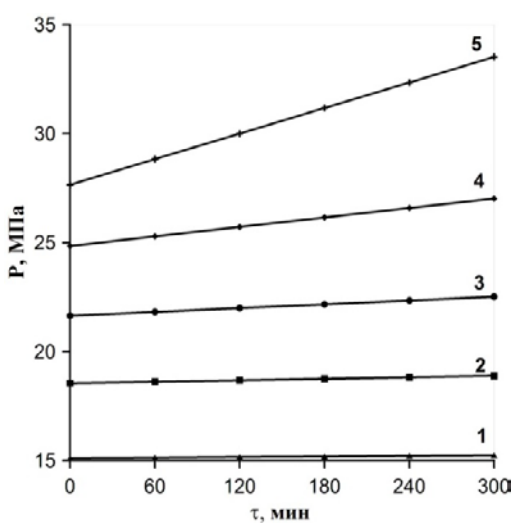


Рис. 3. Зависимость роста давления в системе во времени в процессе деструкции этанола в его водном растворе (x = 0.5) при температурах: 1 - 583.15 K; 2 - 603.15 K; 3 - 623.15 K; 4 - 643.15 K; 5 - 663.15 K.

где A — предэкспоненциальный множитель; R=8.314 Дж/К·моль; E — наименьшее количество энергии, которое требуется сообщить системе, чтобы произошла реакция (энергия активации).

Таблица 4 Значения $k \to \mu A$ для термического разложения

| raosinia 1. Sila icii | пл к, в пт дл | г терми теског | о разложения |
|-----------------------|---------------|----------------|--------------|
| | пистого и рад | TRAMEULIARA B | роле этанопа |

| | чистого и | | | | | | створенного в в | одс этанола |
|--------|---------------|------------------------|-------------|----------------------|-----------------------------|---------------|-----------------|---------------------------------|
| | Т, К | P·10 ⁶ , Па | dP/dτ, Πa/c | k, c^{-1} | $1/T \cdot 10^{-3}$, $1/K$ | lnk, c^{-1} | E, кДж/моль | $A, \cdot 10^5 \mathrm{c}^{-1}$ |
| Этанол | | | | | | | | |
| | 583.15 | 18.241 | 25.83 | $1.42 \cdot 10^{-6}$ | 1.715 | -13.468 | | · |
| | 603.15 | 21.315 | 58.33 | $2.74 \cdot 10^{-6}$ | 1.658 | -12.809 | | |
| | 623.15 | 24.302 | 133.33 | $5.49 \cdot 10^{-6}$ | 1.605 | -12.113 | 119 | 0.577 |
| | 643.15 | 27.875 | 344.44 | $1.24 \cdot 10^{-5}$ | 1.555 | -11.301 | | |
| | 663.15 | 31.044 | 843.88 | $2.72 \cdot 10^{-5}$ | 1.508 | -10.513 | | |
| | Вода – этанол | | | | | | | |
| | 583.15 | 15.112 | 7.22 | $4.78 \cdot 10^{-7}$ | 1.715 | -14.554 | | |
| | 603.15 | 18.554 | 18.89 | $1.02 \cdot 10^{-6}$ | 1.658 | -13.798 | | |
| | 623.15 | 21.648 | 48.61 | $2.24 \cdot 10^{-6}$ | 1.605 | -13.009 | 127.9 | 1.269 |
| | 643.15 | 24.851 | 120.83 | $4.86 \cdot 10^{-6}$ | 1.555 | -12.234 | | |
| | 663.15 | 27.664 | 325.54 | $1.18 \cdot 10^{-5}$ | 1.508 | -11.35 | | |

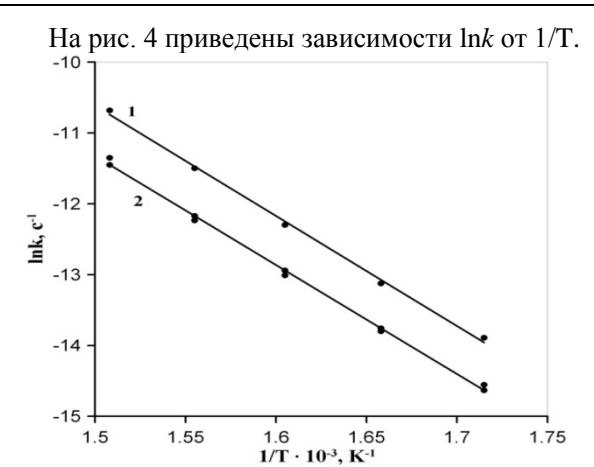


Рис. 4. Зависимость значений lnk чистого (1) и растворенного в воде этанола (2) от значений 1/Т: точки – эксперимент; линии – расчет по (5).

По найденным значениям констант скоростей разложения спиртов для различных температур из уравнения Эйринга [15] определены их энтропия ΔS^{\neq} и внутренняя энергия активации ΔU^{\neq} (рис. 5, табл. 5):

$$\ln(k/T) = \ln(k_b/h) + \Delta S^{\sharp}/R - \Delta U^{\sharp}/RT$$
, (6) где k_b – постоянная Больцмана (1.38065·10⁻²³ Дж/К), h – постоянная Планка (6.626·10⁻³⁴

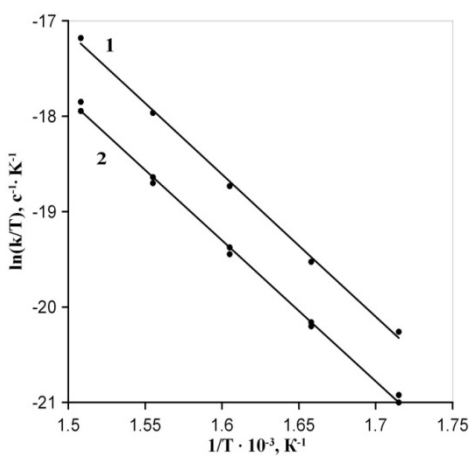


Рис. 5. Зависимость значений ln(k/T) чистого (1) и растворенного в воде этанола (2) от значений 1/Т: точки – эксперимент; линии – расчет по (6).

Дж·с), R – универсальная газовая постоянная (8.314 Дж/К моль).

По значениям ΔS^{\neq} и ΔU^{\neq} (табл. 5) и термодинамическому соотношению [16]

$$\Delta F^{\neq} = \Delta U^{\neq} - T \Delta S^{\neq}. \tag{7}$$

рассчитано изменение энергии Гельмгольца активации (табл. 5).

Таблица 5. Значения S, U и F для термического разложения чистого и растворенного в воде этанола

| | | и растворение | ло в воде этанола | | |
|---------------|--|---------------|---|------------------------------|---------|
| T, K | $1/\text{T} \cdot 10^{-3}$, $1/\text{K}$ $\ln(k/\text{T})$ ΔS^{\neq} , Дж/моль· K | | $\Delta U^{\!\scriptscriptstyle eta}$, кДж/моль | ΔF^{\neq} , кДж/моль | |
| | | | _ | | |
| 583.15 | 1.715 | -20.258 | -187.398 | | 233.281 |
| 603.15 | 1.658 | -19.525 | -188.347 | | 237.601 |
| 623.15 | 1.605 | -18.732 | -188.352 | 124 | 241.372 |
| 643.15 | 1.555 | -17.964 | -188.154 | | 245.011 |
| 663.15 | 1.508 | -17.178 | -187.437 | | 248.299 |
| Вода – этанол | | | | | |
| 583.15 | 1.715 | -20.922 | -195.04 | | 236.438 |
| 603.15 | 1.658 | -20.2 | -196.013 | | 240.925 |
| 623.15 | 1.605 | -19.444 | -196.263 | 122.7 | 245.001 |
| 643.15 | 1.555 | -18.7 | -196.204 | | 248.889 |
| 663.15 | 1.508 | -17.847 | -194.865 | | 251.925 |

Поскольку качественный и количественный анализ продуктов термического разложения по техническим причинам нами не проведен, в работе оценено протекание химических реакций и образование возможных продуктов, связанных с термическим распадом молекул спирта, по изменению энергии Гиббса [15,16]:

$$\Delta G^0 = \Delta H^0 - T \Delta S^0, \tag{8}$$

где ΔH^0 и ΔS^0 – стандартные энтальпия и энтропия реакции [17].

При значении давления p, отличном от стандартного ($p_0 = 1$ атм) изменение энергии Гиббса при давлении p и температуре T согласно (8) может быть представлено в виде [16]

$$\Delta G_T = \Delta G^0 + RT \ln(p / p_0) = \Delta G^0 + RT \ln p. \tag{9}$$

По определению изменение энтальпии ΔH_r^0 и энтропии ΔS_r^0 реакции есть [16]

$$\Delta H_r^0 = \sum_{n_{pool}} \Delta H_f^0(n_{pool}) - \sum_{n_{peac}} \Delta H_f^0(p_{eac})$$
 (10)

$$\Delta S_r^0 = \sum n_{npoo} \Delta S_f^0(npoo) - \sum n_{peas} \Delta S_f^0(peas), \quad (11)$$

где n — стехиометрический коэффициент вещества, ΔH_f^0 , ΔS_f^0 — стандартные значения энтальпии и энтропии образования 1 моль вещества [17].

В табл. 6 приведены значения ΔH_r^0 , ΔS_r^0 , ΔG^0 и ΔG_T и ряд возможных реакций, которыми может сопровождаться термический распад молекул чистого и растворенного в воде этанола при температуре $T=623.15~\mathrm{K}$ и соответствующих ей значениях давления.

Таблица 6. Возможные реакции, включающие процессы термического распада чистого и растворенного в воде этанола при T= 623.15 К и соответствующем давлении

| и растворенного в воде этанола при 1 – 025.13 К и соответствующем давлении | | | | | | | |
|--|--------------------|--------------------|--------------|--------------|--|--|--|
| Реакции | $\Delta H_r^{\ 0}$ | $\Delta S_r^{\ 0}$ | ΔG^0 | ΔG_T | | | |
| Этанол ($p = 18.25 \text{ M}\Pi a$) | | | | | | | |
| $C_2H_5OH \rightarrow CH_3CHO + H_2$ | 69.3 | 112.82 | -1 | 28.9 | | | |
| $C_2H_5OH + C_2H_5OH = C_2H_5OC_2H_5 + H_2O$ | -23.41 | -31.39 | -3.85 | 23.07 | | | |
| $C_2H_5OH = CH_4 + CO + H_2$ | 50.01 | 232.42 | -94.83 | -67.91 | | | |
| $C_2H_5OH = C_2H_4 + H_2O$ | 45.8 | 126.82 | -33.28 | -6.36 | | | |
| $CH_4 + CO = CH_3CHO$ | 19.3 | 119.3 | -54.27 | -28.13 | | | |
| $C_2H_4 + H_2 = C_2H_6$ | -136.9 | -120.01 | -62.1 | 38.13 | | | |
| $C_2H_4 + C_2H_5OH = C_2H_5OC_2H_5$ | -69.2 | -6.83 | -64.95 | -38.03 | | | |
| Вода — этанол ($p=21.64~{ m M}\Pi{ m a}$) | | | | | | | |
| $C_2H_5OH = CH_3CHO + H_2$ | 69.3 | 112.82 | -1 | 26.84 | | | |
| $C_2H_5OH + C_2H_5OH = C_2H_5OC_2H_5$ | -23.41 | -31.39 | -3.85 | 23.07 | | | |
| $C_2H_5OH = CH_4 + CO + H_2$ | 50.01 | 232.42 | -94.83 | -66.91 | | | |
| $C_2H_5OH = C_2H_4 + H_2O$ | 45.8 | 126.82 | -33.28 | -5.36 | | | |
| $CH_4 + CO = CH_3CHO$ | 19.3 | 119.3 | -54.27 | -27.13 | | | |
| $C_2H_4 + H_2 = C_2H_6$ | -136.9 | -120.01 | -62.1 | -37.13 | | | |
| $C_2H_4 + C_2H_5OH = C_2H_5OC_2H_5$ | -69.2 | -6.83 | -64.95 | -37.03 | | | |
| $CO + H_2O = CO_2 + H_2$ | -71.2 | -42.5 | -44.71 | -17.56 | | | |
| $C_2H_5OH + H_2O = CH_4 + CO_2 + H_2$ | 8.81 | 189.9 | -109.5 | -81.58 | | | |

Как видно, при термическом разложении этанола для реакций дегидрирования и внутримолекулярной дегидратации величина энергии Гиббса ΔG отрицательна при нормальном давлении (1 атм), что говорит о возможности протекания данных процессов. Но при высоких давлениях ΔG повышается и меняет знак на положительный, что означает отсутствие этих реакций при данной температуре. Образование ацетальдегида (CH₃CHO), водорода (H₂) и диэтилового эфира (C₂H₅OC₂H) происходит через промежуточные стадии. Также возможно образование продуктов реакций: метан, угарный газ, этилен, этан, вода.

Выводы

Из анализа результатов исследования термического разложения алифатических спиртов в их водных растворах можно сказать следующее:

- 1. Индивидуальные алифатические спирты менее стабильны по сравнению с растворенными в воде при одинаковых условиях. Температуры начала термического разложения $T_{\rm H}$ чистых спиртов ниже, чем в их водных растворах.
- 2. Температура начала термического разложения молекул спиртов, растворенных в воде, зависит от их концентрации и числа атомов углерода. С ростом концентрации спиртов $T_{\rm H}$ уменьшается. $T_{\rm H}$ исследованных спиртов возрастает с ростом числа атомов углерода.

ЛИТЕРАТУРА:

- 1. Никитин Д.Е. Критические свойства термонестабильных веществ: Методы измерений. Некоторые результаты. Корреляции // Теплофизика высоких температур. 1998. Т. 36. № 2. С. 322–337.
- 2. Калафати Д.Д., Рассказов Д.С., Петров Е.К. Экспериментальное исследование pvtзависимости этилового спирта // Теплоэнергетика. 1967. Т. 14. С. 77–84.
- 3. Straty G. C., Palavra A.M., Bruno T.J. PVT properties of methanol at temperatures to 300⁰C // Int. J. Thermophysics. 1986. № 5. P. 1077–1089.
- 4. Walter H., David A., Steven J. Methanol and ethanol decomposition in supercritical water // Zeitschrift für Physikalische Chemie. 2005. V. 219. № 3. P. 367–378.
- 5. Aronowitz D., Naegeli D.W., Glassman I. Kinetics of the pyrolysis of methanol // J. Phys. Chem. 1977. V. 81. № 25. P. 2555–2559.
- 6. Juan Li., Kazakov A., Dryer F.L. Ethanol pyrolysis experiments in a variable pressure flow reactor // Int. J. Chem. Kinetics. 2001. V. 33. № 12. P. 859–867.
- 7. Базаев Э.А.. Базаев А.Р.. Абдурашидова А.А. Экспериментальное исследование критического состояния водных растворов алифатических спиртов // Теплофизика высоких температур. 2009. Т 47. № 2. С. 215–220.
- 8. Джаппаров Т.А., Базаев. А.Р. Исследование термической стабильности водных растворов алифатических спиртов // Теплофизика и аэромеханика. 2012. Т. 19. № 6. С. 793–798.
 - 9. Жоров Ю.М. Кинетика промышленных органических реакций. М.: Химия, 1989. 384 с.
- 10. Fletcher C.J.M. The thermal decomposition of methyl alcohol // Proc. R. Soc. Lond. Ser. A. 1934. № 147. P. 119–128.
- 11. Barnard J.A., Hughes H.W.D. The pyrolysis of ethanol // Trans. Faraday Soc. 1960. № 56. P. 55–63.
- 12. Waring C.E., Fekete A.J. The kinetics of the thermal decomposition of 1,1,1-trifluoroacetone // J. Phys. Chem. 1970. V. 74. № 5. P. 1007–1015.
- 13. Кондратьев В.Н., Никитин Е.Е. Кинетика и механизм газофазных реакций. М.: Наука, 1974 558 с
 - 14. Эмануэль Н.М., Кнорре Д.Г. Курс химической кинетики. М.: Высшая школа, 1984. 463 с.
- 15. Семиохин И.А., Страхов Б.В., Осипов А.И. Кинетика химических реакций. М.: МГУ, 1995. 351 с.
 - 16. Герасимов Я.И. Курс физической химии: в 2-х т. М.: Химия, 1973. Т. 2. 624 с.
- 17. Карапетьянц М.Х., Карапетьянц М.Л. Основные термодинамические константы неорганических и органических веществ. М.: Химия, 1968. 471 с.

RESEARCH OF THERMAL DESTRUCTION OF ALCOHOLS IN PURE STATE AND DISSOLVED IN WATER

T.A. Dzhapparov[®], A.R. Bazaev

Institute of Problems of Geothermy, Daghestan Scientific Center RAS, Makhachkala, 367003 Republic of Daghestan, Russian Federation

By the method of isothermal pressure increasing in a closed system starting temperatures (T_S) of thermal decomposition of aliphatic alcohols (methanol, ethanol, 1-propanol and 1-butanol) in their water solutions depending on composition are obtained. Values of T_S depending on composition (x) and number of carbon atom (C) are described by the polynomial equation:

$$T(x, N) = 23.622x^{2} - 65.617x + 6.378 \cdot 10^{-3}N^{2} + 28.826 \cdot 10^{-2}N + 544.258$$

It is shown that the rate of alcohol decomposition depends on temperature and concentration (in water-alcohol solution). To estimate rate of thermal decomposition of alcohols we used change of pressure of system in a unit of time at constant temperature and volume (closed system). Reaction rate constant was calculated by formula:

$$k = \frac{1}{p} \cdot \frac{dp}{d\tau}$$
, where k – reaction rate constant; p – pressure; τ – time; $dp/d\tau$ – rate of reaction.

Values of kinetic and activation parameters of alcohol decomposition in the range of temperatures 583.15–663.15 K are estimated.

Key words: temperature, pressure, solutions, concentration, thermal destruction, kinetic parameters.

[®] Corresponding author e-mail: Timur507@mail.ru